



Laboratorium EMVO Sp. J. Urbański, Pawelak  
ul. Jasna 1  
00-013 Warszawa

tel. +48 22 780 29 64

e-mail: laboratorium@emvo.pl



AB 1630

## Sprawozdanie z pomiarów pól elektromagnetycznych - środowisko nr 5/05/OŚ/2023 - ELT



<b>Nr i nazwa stacji</b>	<b>BT44066_BYDGOSZCZ_FORDON</b>	
<b>Adres</b>	<b>85-799 Bydgoszcz, ul. Osiedlowa 3, woj. kujawsko-pomorskie</b>	
<b>Opracowanie</b>	<b>[REDACTED]</b>	<b>Specjalista ds. pomiarów</b>
<b>Autoryzacja</b>	<b>[REDACTED]</b>	<b>Kierownik Laboratorium</b>
<b>Podpis</b>		
<b>Data</b>	<b>2023-05-17</b>	

## Spis treści

1. Informacje ogólne.....	3
2. Podstawa prawna. ....	3
3. Opis pomiarów.....	3
4. Zróżnicowanie dopuszczalne poziomy pól elektromagnetycznych.....	5
5. Charakterystyka źródeł PEM.....	5
6. Wyniki pomiarów.....	5
7. Stwierdzenie zgodności .....	6
8. Oświadczenie.....	7
9. Spis załączników. ....	8

## 1. Informacje ogólne.

Zleceniodawca	<b>Axians Networks Poland Sp. z o.o.</b> ul. Annopol 4a, 03-236 Warszawa Osoba udzielająca informacji – [REDAKTOWANE]
Istotne informacje dostarczone przez klienta	komplet informacji niezbędnych do wykonania pomiarów i opracowania sprawozdania
Dane otrzymane od klienta mogące mieć wpływ na ważność wyników	Dane anten sektorowych, dane anten radioliniowych, parametry pracy instalacji, poprawka pomiarowa, ustawienie pochylenia anten
Prowadzący instalację	<b>TOWERLINK POLAND SP. z.o.o.</b> , ul. Kasprzaka 4, 01-211 Warszawa
Lokalizacja obiektu	85-799 Bydgoszcz, ul. Osiedlowa 3, woj. kujawsko-pomorskie
Miejsce instalacji anten	Dach budynku
Miejsce instalacji urządzeń	Outdoor
Osoby wykonujące pomiar	[REDAKTOWANE]
Data wykonania pomiaru	17.05.2023
Temperatura na początku pomiaru [°C]	12,0
Temperatura na koniec pomiaru [°C]	12,0
Warunki atmosferyczne	Brak opadów
Wilgotność na początku pomiaru [%]	72,0
Wilgotność na koniec pomiaru [%]	70,0
Godzina na początku pomiaru	9:00
Godzina na koniec pomiaru	10:10
Inne źródła pól elektromagnetycznych oznaczone na załączniku graficznym	Występują
Parametry pracy instalacji	Tryb eksploatacyjny

## 2. Podstawa prawna.

### 2.1 Normy i rozporządzenia:

- Rozporządzeniem Ministra Klimatu z dnia 17 lutego 2020 r. w sprawie sposobów sprawdzania dotrzymania dopuszczalnych poziomów pól elektromagnetycznych w środowisku (Dz.U. 2020 poz. 258)
- Rozporządzenie Ministra Zdrowia z dnia 17 grudnia 2019 r. w sprawie dopuszczalnych poziomów pól elektromagnetycznych w środowisku (Dz.U. 2019 poz. 2448)
- Obwieszczenie Marszałka Sejmu Rzeczypospolitej Polskiej z dnia 29 września 2021 r. w sprawie ogłoszenia jednolitego tekstu ustawy - Prawo ochrony środowiska (Dz.U. 2021 poz. 1973)
- Rozporządzenie Ministra Klimatu i Środowiska z dnia 6 maja 2022 r. zmieniające rozporządzenie w sprawie sposobów sprawdzania dotrzymywania dopuszczalnych poziomów pól elektromagnetycznych w środowisku (Dz.U. 2022 poz. 1121).

### 3. Opis pomiarów

Metodologia pomiarowa	Pomiary w oparciu o Rozporządzeniem Ministra Klimatu z dnia 17 lutego 2020 r. w sprawie sposobów sprawdzania dotrzymania dopuszczalnych poziomów pól elektromagnetycznych w środowisku (Dz.U. 2020 poz. 258) oraz Rozporządzenie Ministra Klimatu i Środowiska z dnia 6 maja 2022 r. zmieniające rozporządzenie w sprawie sposobów sprawdzania dotrzymywania dopuszczalnych poziomów pól elektromagnetycznych w środowisku (Dz.U. 2022 poz. 1121).
Cel badań	Określenie wartości natężenia pola elektrycznego w miejscach dostępnych dla ludności.
Opis zestawu pomiarowego	Miernik Narda NBM 550, Sonda EF9091, o zakresie pomiarowym 0,7 V/m - 300V/m pracująca w paśmie 0,1 – 90 GHz, świadectwo wydane przez Laboratorium Wzorców i Metrologii Pola Elektromagnetycznego, Instytut Telekomunikacji, Teleinformatyki i Akustyki Politechniki Wrocławskiej. Świadectwo ważne do 10.06.2024r. Miernik Narda NBM 550, Sonda EF9091 pracująca w zakresie temperatury -10°C +50°C oraz wilgotności 5% - 95%. Niepewność rozszerzona 59% przy poziomie ufności 95% z uwzględnieniem współczynnika rozszerzenia k=2.
Wyposażenie pomocnicze	Termohigrometr Termoprodukt, typ: Termik+, Nr. inwentarzowy 43/WL, nr identyfikacyjny 1530619, świadectwo wzorcowania nr 0392/AH/20 z dn. 02.03.2020 r. wydane przez Laboratorium Pomiarowe "MUTECH". Dalmierz laserowy BOSH GLM 40, Nr. inwentarzowy 27/WL, nr seryjny 711425432, Świadectwo wzorcowania L4-L41.4180.141.2018.3061.1 z dnia 12 września 2018 wydane przez Pracownia Długości Samodzielnego Laboratorium Długości w Głównym Urzędzie Miar. GPS Garmin 64s okresowo sprawdzany w punktach osnowy geodezyjnej klasy 3 na podstawie licencji punktu, zgodnie z procedurą sprawdzeń okresowych IS/PO16-11/03.
Pomiary zostały wykonane	<ol style="list-style-type: none"><li>1. na głównych i pomocniczych kierunkach pomiarowych, na kierunkach zbliżonych do azymutów anten oraz w dodatkowych pionach pomiarowych zgodnie z wymaganiami pkt 12, 13, 14 i 19 Rozporządzenia Ministra Klimatu z dnia 17 lutego 2020 r. (Dz. U. 2020, poz. 258) oraz Rozporządzenia Ministra Klimatu i Środowiska z dnia 6 maja 2022 r. zmieniającego rozporządzenie w sprawie sposobów sprawdzania dotrzymywania dopuszczalnych poziomów pól elektromagnetycznych w środowisku (Dz.U. 2022 poz. 1121).</li><li>2. na obszarze pomiarowym, dla którego, na podstawie uprzednio przeprowadzonych obliczeń stwierdzono w miejscach dostępnych dla ludności występowanie pól elektromagnetycznych o najwyższym poziomie, które pochodzą z badanej instalacji zgodnie z wymaganiami pkt 5 ppkt 2 oraz pkt 13 ppkt 1 Rozporządzenia Ministra Klimatu z dnia 17 lutego 2020 r. w sprawie sposobów sprawdzania dotrzymania dopuszczalnych poziomów pól elektromagnetycznych w środowisku (Dz. U. 2020, poz. 258) oraz Rozporządzenia Ministra Klimatu i Środowiska z dnia 6 maja 2022 r. zmieniającego rozporządzenie w sprawie sposobów sprawdzania dotrzymywania dopuszczalnych poziomów pól elektromagnetycznych w środowisku (Dz.U. 2022 poz. 1121). Wyniki obliczeń nie uwzględniały parametrów pracy instalacji innych operatorów występujących na obiekcie bądź w obszarze pomiarowym.</li><li>3. w miejscach dostępnych dla ludności.</li><li>4. miejsca niedostępne podczas wykonywania pomiarów wskazane zostały w pkt 6 (tabeli wyniki pomiarów).</li></ol>

Szczególne warunki podczas wykonywania pomiarów

Pomiary wykonane zostały podczas obowiązywania w kraju stanu zagrożenia epidemicznego, zgodnie z art. 122a ust. 1b Ustawy z dnia 27 kwietnia 2001 r. – Prawo ochrony środowiska (Dz. U. z 2019 r. poz. 1396, z późn. zm.9))

Warunki pracy urządzeń nadawczych

Tryb pracy eksploatacyjny.

#### 4. Zróżnicowanie dopuszczalne poziomych pól elektromagnetycznych.

Zakresy znajdują się w Dzienniku Ustaw z dnia 17 grudnia 2019 r. przedstawione są w tabeli nr 2 (Dz. U. z 2019r. poz. 2448).

Parametr fizyczny	Składowa elektryczna E (V/m)	Składowa magnetyczna H (A/m)	Gęstość mocy S (W/m <sup>2</sup> )
Zakres Częstotliwości pola elektromagnetycznego			
od 400 MHz do 2000 MHz	$1,375 \times f^{0,5}$	$0,0037 \times f^{0,5}$	f / 200
od 2 GHz do 300 GHz	61	0,16	10

#### 5. Charakterystyka źródeł PEM.

Zgodnie z informacją otrzymaną od Klienta pomiary zostały wykonane przy ustawieniach pochyleń anten zgodnych z pkt. 13, ppkt 2 Rozporządzenia Ministra Klimatu z dnia 17 lutego 2020 roku.

Tabela 1. Anteny sektorowe - dane otrzymane od klienta

Typ anteny	Współrzędne geograficzne	Azymut mechaniczny [°]	Azymut elektryczny [°]	Wysokość zawieszenia anten (środek anteny) n.p.t. [m]	Pasma częstotliwości [MHz]	Zakres pochyleń elektrycznego [°]	Średnie pochylenie anten (ustawione do pomiarów PEM) [°]	Zakres pochyleń mechanicznego [°]	Moc EIRP [W]	Suma EIRP [W]
120335	18°09'47.16"E 53°09'16.97"N	0	0	36,10	1800	1,0 - 6,4	3,7	0,0	5050	18256
					2600	1,0 - 6,4	3,7		7240	
					900	2,0 - 6,4	3,7		5966	
120335	18°09'47.16"E 53°09'16.97"N	120	120	36,10	1800	1,0 - 6,4	3,7	0,0	5050	18256
					2600	1,0 - 6,4	3,7		7240	
					900	2,0 - 6,4	3,7		5966	
120335	18°09'47.16"E 53°09'16.97"N	240	240	36,10	1800	1,0 - 6,4	3,7	0,0	5050	18570
					2600	1,0 - 6,4	3,7		7554	
					900	2,0 - 6,4	3,7		5966	
120165	18°09'47.16"E 53°09'16.97"N	0	0	36,00	2100	1,0 - 6,4	3,7	0,0	6192	26804
					2600	1,0 - 6,4	3,7		20612	
120165	18°09'47.16"E 53°09'16.97"N	120	120	36,00	2100	1,0 - 6,4	3,7	0,0	6192	26804
					2600	1,0 - 6,4	3,7		20612	
120165	18°09'47.16"E 53°09'16.97"N	240	240	36,00	2100	1,0 - 6,4	3,7	0,0	6192	26804
					2600	1,0 - 6,4	3,7		20612	

Tabela 2. Anteny radioliniowe- dane otrzymane od klienta

Typ anteny	Współrzędne geograficzne	Azymut [°]	Średnica [m]	Pasma częstotliwości [GHz]	Zysk energetyczny [dBi]	Moc wyjściowa nadajnika [dBm]	EIRP [W]	Wysokość środka elektrycznego anten n.p.t. [m]
ANT2 A 0.3 80 HP	18°09'47.16"E 53°09'16.97"N	6	0,3	80	46,5	8	281,84	33,8
VHLP1-80	18°09'47.16"E 53°09'16.97"N	36	0,3	80	43,5	4	56,23	32,9
VHLP1-80	18°09'47.16"E 53°09'16.97"N	103	0,3	80	43,5	7	112,20	34,6
VHLP1-80	18°09'47.16"E 53°09'16.97"N	166	0,3	80	43,5	0	22,39	33,85
UKY 230 41/14H	18°09'47.16"E 53°09'16.97"N	204	0,3	80	46,5	14	1122,02	35,0
VHLP1-80	18°09'47.16"E 53°09'16.97"N	312	0,3	80	43,5	4	56,23	33,8

## 6. Wyniki pomiarów.

Wyniki pomiarów pól elektromagnetycznych dla celów ochrony środowiska przedstawia poniższa tabela. Piony pomiarowe zostały przedstawione w zał. 2.

Nr PP	Pole-E [V/m]	Pole-E, +U [V/m]	Pole-H [A/m]	Pole-H +U [A/m]	Wys. pomiaru [m]	Opis pionu	Uwagi	WM <sub>E</sub>	WM <sub>H</sub>
1	0,8	1,27	0,002	0,003	0,3-2,0	N:53°09'20.5" E:18°09'46.3"	otoczenie stacji bazowej - 100m wzdłuż gł. osi promieniowania - GKP	0,045	0,046
2	0,9	1,43	0,002	0,004	0,3-2,0	N:53°09'22.1" E:18°09'46.4"	otoczenie stacji bazowej - 150m wzdłuż gł. osi promieniowania - GKP	0,051	0,052
3	0,9	1,43	0,002	0,004	0,3-2,0	N:53°09'23.7" E:18°09'46.4"	otoczenie stacji bazowej - 200m wzdłuż gł. osi promieniowania - GKP	0,051	0,052
4	1,0	1,59	0,003	0,004	0,3-2,0	N:53°09'25.4" E:18°09'46.4"	otoczenie stacji bazowej - 250m wzdłuż gł. osi promieniowania - GKP	0,057	0,058
5	1,1	1,75	0,003	0,005	0,3-2,0	N:53°09'27.0" E:18°09'46.4"	otoczenie stacji bazowej - 300m wzdłuż gł. osi promieniowania - GKP	0,062	0,064
6	1,0	1,59	0,003	0,004	0,3-2,0	N:53°09'28.8" E:18°09'46.4"	otoczenie stacji bazowej - 360m wzdłuż gł. osi promieniowania - GKP	0,057	0,058
7	1,0	1,59	0,003	0,004	0,3-2,0	N:53°09'16.4" E:18°09'49.2"	otoczenie stacji bazowej - 50m wzdłuż gł. osi promieniowania - GKP	0,057	0,058
8	0,8	1,27	0,002	0,003	0,3-2,0	N:53°09'15.6" E:18°09'51.2"	otoczenie stacji bazowej - 100m wzdłuż gł. osi promieniowania - GKP	0,045	0,046
9	0,9	1,43	0,002	0,004	0,3-2,0	N:53°09'14.9" E:18°09'53.5"	otoczenie stacji bazowej - 150m wzdłuż gł. osi promieniowania - GKP	0,051	0,052
10	1,3	2,07	0,003	0,005	0,3-2,0	N:53°09'14.0" E:18°09'55.9"	otoczenie stacji bazowej - 200m wzdłuż gł. osi promieniowania - GKP	0,074	0,075
11	1,2	1,91	0,003	0,005	0,3-2,0	N:53°09'13.4" E:18°09'58.2"	otoczenie stacji bazowej - 250m wzdłuż gł. osi promieniowania - GKP	0,068	0,069
12	1,6	2,54	0,004	0,007	0,3-2,0	N:53°09'12.6" E:18°10'00.5"	otoczenie stacji bazowej - 300m wzdłuż gł. osi promieniowania - GKP	0,091	0,092
13	1,5	2,39	0,004	0,006	0,3-2,0	N:53°09'11.6" E:18°10'03.3"	otoczenie stacji bazowej - 360m wzdłuż gł. osi promieniowania - GKP	0,085	0,087
14	1,8	2,86	0,005	0,008	0,3-2,0	N:53°09'16.4" E:18°09'44.1"	otoczenie stacji bazowej - 50m wzdłuż gł. osi promieniowania - GKP	0,102	0,104
15	1,0	1,59	0,003	0,004	0,3-2,0	N:53°09'15.6" E:18°09'41.7"	otoczenie stacji bazowej - 100m wzdłuż gł. osi promieniowania - GKP	0,057	0,058
16	1,1	1,75	0,003	0,005	0,3-2,0	N:53°09'14.7" E:18°09'39.2"	otoczenie stacji bazowej - 150m wzdłuż gł. osi promieniowania - GKP	0,062	0,064
17	1,2	1,91	0,003	0,005	0,3-2,0	N:53°09'13.9" E:18°09'37.1"	otoczenie stacji bazowej - 200m wzdłuż gł. osi promieniowania - GKP	0,068	0,069
18	1,1	1,75	0,003	0,005	0,3-2,0	N:53°09'13.1" E:18°09'34.8"	otoczenie stacji bazowej - 250m wzdłuż gł. osi promieniowania - GKP	0,062	0,064
19	1,1	1,75	0,003	0,005	0,3-2,0	N:53°09'12.3" E:18°09'32.5"	otoczenie stacji bazowej - 300m wzdłuż gł. osi promieniowania - GKP	0,062	0,064
20	1,0	1,59	0,003	0,004	0,3-2,0	N:53°09'11.4" E:18°09'29.8"	otoczenie stacji bazowej - 360m wzdłuż gł. osi promieniowania - GKP	0,057	0,058

„Bez pisemnej zgody Laboratorium niniejsze sprawozdanie nie może być powielane inaczej, jak tylko w całości. Ponadto wyniki dotyczą tylko badanych obiektów przywołanych w niniejszym sprawozdaniu z badań”

21	0,8	1,27	0,002	0,003	0,3-2,0	N:53°09'19.9" E:18°09'49.5"	otoczenie stacji bazowej - 100m wzdłuż gł. osi promieniowania - GKP	0,045	0,046
22	0,8	1,27	0,002	0,003	0,3-2,0	N:53°09'16.9" E:18°09'49.2"	otoczenie stacji bazowej - 50m wzdłuż gł. osi promieniowania - GKP	0,045	0,046
23	0,8	1,27	0,002	0,003	0,3-2,0	N:53°09'14.2" E:18°09'47.8"	otoczenie stacji bazowej - 100m wzdłuż gł. osi promieniowania - GKP	0,045	0,046
24	0,8	1,27	0,002	0,003	0,3-2,0	N:53°09'14.2" E:18°09'44.4"	otoczenie stacji bazowej - 100m wzdłuż gł. osi promieniowania - GKP	0,045	0,046
25	0,7*	1,27	0,002	0,003	0,3-2,0	N:53°09'18.2" E:18°09'44.1"	otoczenie stacji bazowej - 50m wzdłuż gł. osi promieniowania - GKP	0,045	0,046
26	0,7*	1,27	0,002	0,003	0,3-2,0	N:53°09'19.1" E:18°09'42.2"	otoczenie stacji bazowej - 100m wzdłuż gł. osi promieniowania - GKP	0,045	0,046
27	0,8	1,27	0,002	0,003	0,3-2,0	N:53°09'17.9" E:18°09'49.2"	otoczenie stacji bazowej - GKP	0,045	0,046
28	0,9	1,43	0,002	0,004	0,3-2,0	N:53°09'17.1" E:18°09'43.0"	otoczenie stacji bazowej - GKP	0,051	0,052
A	1,0	1,59	0,003	0,004	0,3-2,0	N:53°09'28.2" E:18°09'45.8"	Gen. W. Andersa 51, pomiar przed budynkiem -DPP	0,057	0,058
B	0,8	1,27	0,002	0,003	0,3-2,0	N:53°09'18.9" E:18°09'49.1"	Osiedlowa 10i/10h/10g, pomiar przed budynkiem -DPP	0,045	0,046
C	0,9	1,43	0,002	0,004	0,3-2,0	N:53°09'19.3" E:18°09'47.5"	Osiedlowa 10f/10e/10d, pomiar przed budynkiem -DPP	0,051	0,052
D	0,8	1,27	0,002	0,003	0,3-2,0	N:53°09'18.6" E:18°09'46.2"	Osiedlowa 10a/10b/10c, pomiar przed budynkiem -DPP	0,045	0,046
E	0,8	1,27	0,002	0,003	0,3-2,0	N:53°09'18.3" E:18°09'47.5"	Osiedlowa 8, pomiar przed budynkiem -DPP	0,045	0,046
F	0,8	1,27	0,002	0,003	0,3-2,0	N:53°09'16.6" E:18°09'46.7"	Osiedlowa 3, pomiar przed budynkiem -DPP	0,045	0,046
G	0,8	1,27	0,002	0,003	0,3-2,0	N:53°09'16.3" E:18°09'48.8"	Osiedlowa 1, pomiar przed budynkiem -DPP	0,045	0,046
H	0,9	1,43	0,002	0,004	0,3-2,0	N:53°09'15.9" E:18°09'52.0"	Osiedlowa 4, pomiar przed budynkiem -DPP	0,051	0,052

Wynik pomiaru pole - E [V/m] - maksymalna wartość chwilowa zmierzona w danym pionie pomiarowym (uśredniona na podstawie punktu 11 załącznika do Rozporządzenia Ministra Klimatu z dnia 17 lutego 2020 r. w sprawie sposobów sprawdzania dotrzymania dopuszczalnych poziomów pól elektromagnetycznych w środowisku (Dz.U. 2020 poz. 258, Dz.U. 2022 poz. 1121)). Zgodnie z pkt. 7 załącznika do Rozporządzenia Ministra Klimatu z dnia 17 lutego 2020 r. w sprawie sposobów sprawdzania dotrzymania dopuszczalnych poziomów pól elektromagnetycznych w środowisku (Dz.U. 2020 poz. 258, Dz.U. 2022 poz. 1121) nie stosuje się poprawek pomiarowych.

Przyjęto najniższą dopuszczalną wartość składowej elektrycznej pola dla objętego pomiarami zakresu częstotliwości  $\min(ME_{gr}) = 28 \text{ V/m}$  oraz składowej magnetycznej  $\min(MH_{gr}) = 0,073 \text{ A/m}$ .

\* - wartość zmierzona poniżej zakresu akredytacji. Do obliczeń przyjęto wartość zgodną z dolną granicą akredytowanego zakresu pomiarowego metody.

GKP - główne kierunki pomiarowe

PKP - pomocnicze kierunki pomiarowe

DPP - dodatkowe punkty pomiarowe

PP - pion pomiarowy

U - niepewność pomiarowa rozszerzona, przy poziomie ufności 95%, z uwzględnieniem współczynnika rozszerzenia  $k=2$

$WM_E$  - wartość wskaźnikowa poziomu emisji pól elektromagnetycznych dla miejsc dostępnych dla ludności dla składowej elektrycznej pola

$WM_H$  - wartość wskaźnikowa poziomu emisji pól elektromagnetycznych dla miejsc dostępnych dla ludności dla składowej magnetycznej pola

## 7. Stwierdzenie zgodności

Na podstawie wytycznych podanych w Rozporządzeniu Ministra Zdrowia z dnia 17 grudnia 2019 r. w sprawie dopuszczalnych poziomów pól elektromagnetycznych w środowisku (Dz.U. 2019 poz. 2448) oraz sposobów sprawdzania dotrzymania tych poziomów zgodnie z Rozporządzeniem Ministra Klimatu z dnia 17 lutego 2020 r. w sprawie sposobów sprawdzania dotrzymania dopuszczalnych poziomów pól elektromagnetycznych w środowisku (Dz.U. 2020 poz. 258) oraz Rozporządzeniem Ministra Klimatu i Środowiska z dnia 6 maja 2022 r. zmieniającego rozporządzenie w sprawie sposobów sprawdzania dotrzymania dopuszczalnych poziomów pól elektromagnetycznych w środowisku (Dz.U. 2022 poz. 1121), dotyczących źródła wymagań, które muszą być

„Bez pisemnej zgody Laboratorium niniejsze sprawozdanie nie może być powielane inaczej, jak tylko w całości. Ponadto wyniki dotyczą tylko badanych obiektów przywołanych w niniejszym sprawozdaniu z badań”

spełnione, w oparciu o zasadę podejmowania decyzji zgodną z pkt. 26 Rozporządzenia Ministra Klimatu z dnia 17 lutego 2020 r. (Dz.U. 2020 poz. 258), na podstawie wyników pomiarów pól elektromagnetycznych wykonanych w dniu 17.05.2023 stwierdzono, że wszystkie wyniki przeprowadzonych pomiarów w danym obszarze pomiarowym oraz wyznaczone na tej podstawie wskaźniki WME oraz WMH są mniejsze od wartości dopuszczalnych – zgodnie z przepisami wydanymi na podstawie art. 122 ust. 1 ustawy z dnia 27 kwietnia 2001 r. – Prawo ochrony środowiska – załącznikiem do Rozporządzenia Ministra Klimatu i Środowiska z dnia 17 lutego 2020 r. w sprawie sposobów sprawdzania dotrzymywania dopuszczalnych poziomów pól elektromagnetycznych w środowisku (Dz.U. 2020 poz. 258, pkt 26).

## 8. Oświadczenie.

Wyniki badania odnoszą się wyłącznie do badanego obiektu.

Bez pisemnej zgody sprawozdanie nie może być powielane inaczej, jak tylko w całości.

Uwagi i zastrzeżenia przyjmowane są w formie pisemnej.

## 9. Spis załączników.

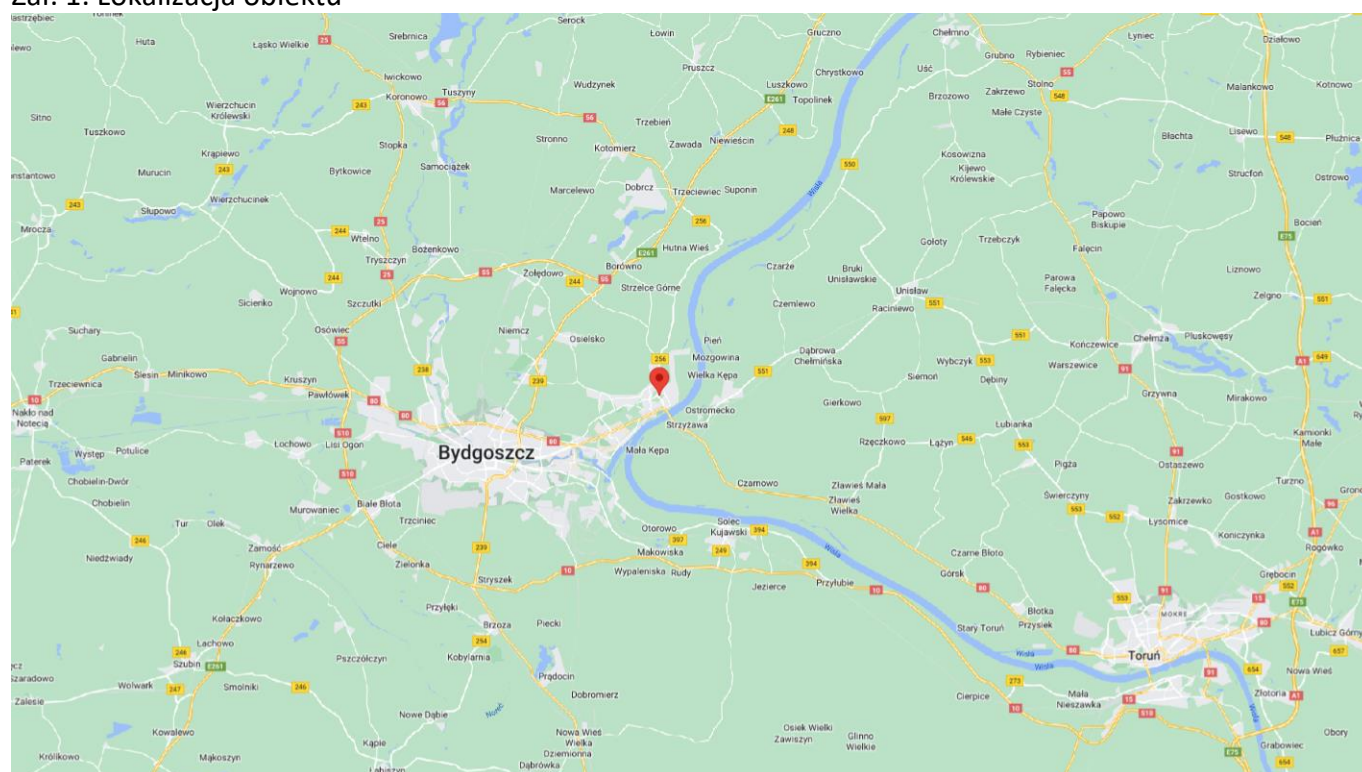
Zał. 1. Lokalizacja obiektu.

Zał. 2. Widok pionów pomiarowych

Zał. 3. Załączniki graficzne

### Koniec sprawozdania

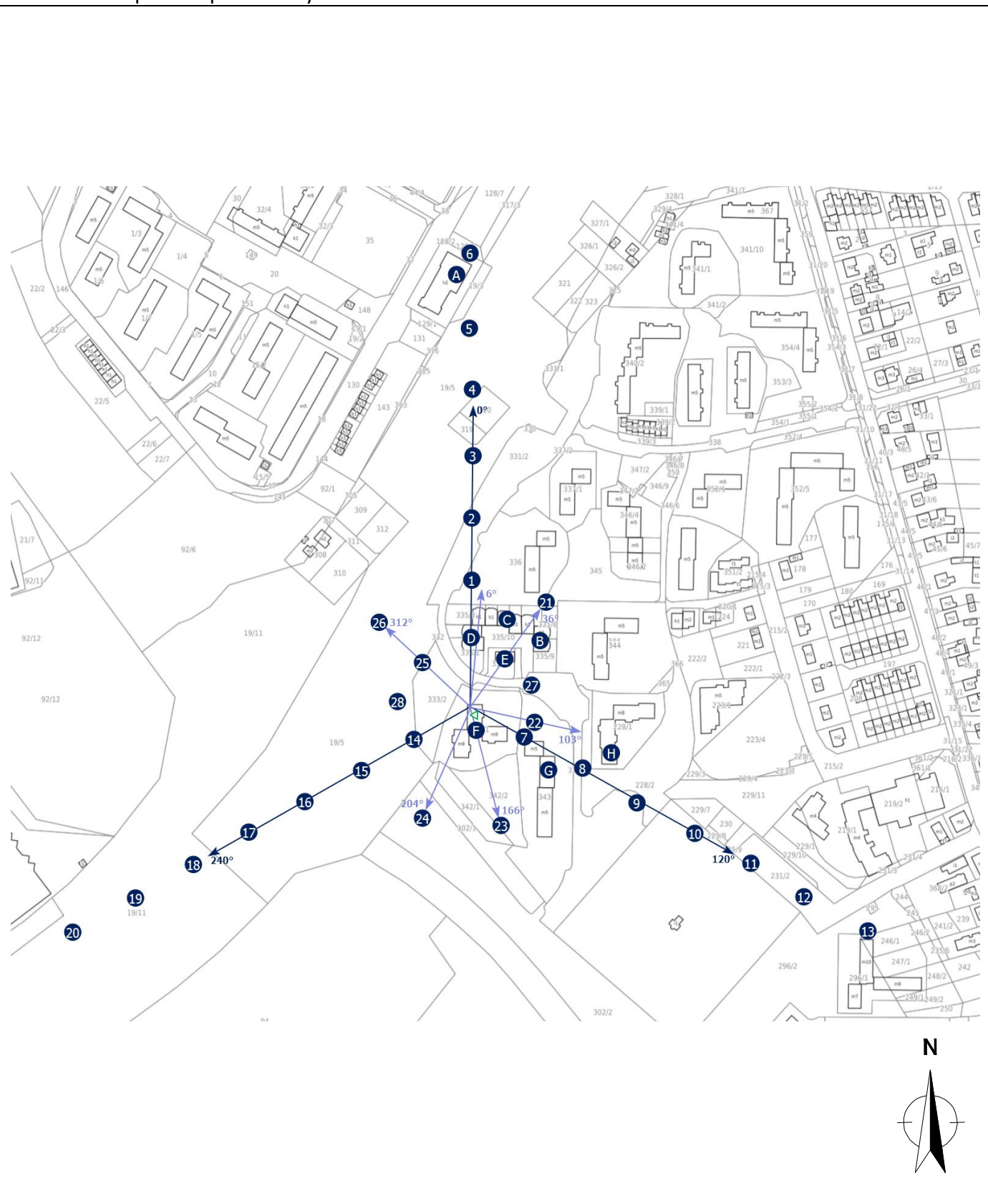
#### Zał. 1. Lokalizacja obiektu



Współrzędne geograficzne	
długość:	18°09'47.16"E
szerokość:	53°09'16.97"N




## Załącznik 2. Widok pionów pomiarowych




### LEGENDA:

 inna instalacja radiokomunikacyjna

 brak dostępu

 pion pomiaru

 antena sektorowa

 antena radioliowa

Skala: 1:5000



### Załącznik 3. Załączniki graficzne.

